



ECOLE  
POLYTECHNIQUE  
DE BRUXELLES

UNIVERSITÉ LIBRE DE BRUXELLES

RAPPELS THÉORIQUES

---

# Mécanique des solides et des fluides

## CNST-H-202

---

*Auteur :*  
Enes ULUSOY

Année 2014 - 2015

# TP 1 : Notations indicielles

## Notation indicielles

- Indice libre :
  - N'apparaît qu'une seule fois
  - Représente une composante
  - Doit apparaître dans tous les termes
- Indice muet :
  - Apparaît deux fois
  - Représente une sommation

## Symbole de Kronecker

- A 2 indices :

$$\delta_{ij} = \begin{cases} 1 & \text{si } i = j \\ 0 & \text{si } i \neq j \end{cases} \quad (1)$$

- A 3 indices :

$$\delta_{ijk} = \begin{cases} 1 & \text{si permutation paire des indices} \\ -1 & \text{si permutation impaires des indices} \\ 0 & \text{sinon} \end{cases} \quad (2)$$

- Formule d'expulsion

$$\delta_{ijk}\delta_{ipq} = \delta_{jp}\delta_{kq} - \delta_{jq}\delta_{kp} \quad (3)$$

## Tenseur d'ordre 2

Le tenseur des contraintes est défini comme

Matriciellement cela revient à

$$\overline{T}^{(n)} = \overline{T}_i n_i = T_{ij} \overline{1}x_j \cdot n_i \quad (4) \quad \overline{T}^{(n)} = \overline{n} \overline{\overline{T}} \quad (5)$$

Ce qui nous donne en fait la composante en j du tenseur

$$T_j^{(n)} = T_{ij} n_i \rightarrow \overline{T}^{(n)} = T_j^{(n)} \overline{1}x_j \quad (6)$$

- Propriétés :
  - Changement d'axe :  $T'_{pq} = \alpha_{pi}\alpha_{qj}T_{ij}$
  - Tenseur symétrique :  $T_{ij} = T_{ji}$
  - Tenseur antisymétrique :  $T_{ij} = -T_{ji}$

## Divers

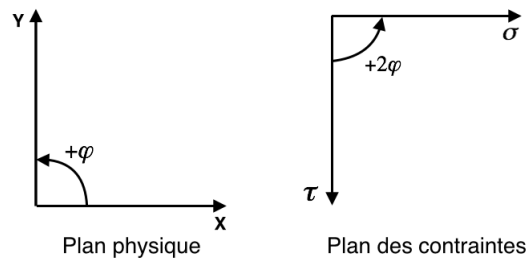
- Gradient :  $\partial_i \varphi$
- Divergence :  $\partial_i \varphi_i = \varphi_{i,i}$
- Rotationnel :  $\delta_{ijk} \partial_j \varphi_k$
- Laplacien :  $\partial_{ii} \varphi$
- Produit scalaire :  $a \cdot b = a_i b_i$
- Produit vectoriel :  $a \times b = \delta_{ijk} a_j b_k$

## TP 2 : Cercle de Mohr (tenseur des contraintes)

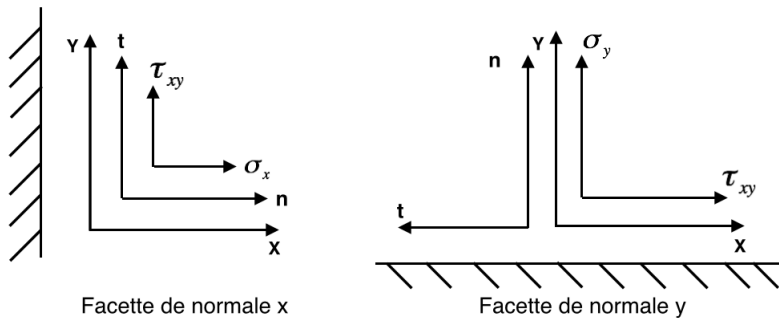
- Représentation de l'état de contrainte en un point considéré
- Il faut donc connaître le tenseur de contrainte  $\bar{\bar{T}}$
- Rappel :  $\bar{\bar{T}} = \begin{pmatrix} \sigma_x & \tau_{xy} \\ \tau_{xy} & \sigma_y \end{pmatrix}$  est symétrique

### Conventions

Attention à l'angle qu'il faut diviser par 2 pour avoir l'équivalent dans le physique.



Dans le plan physique, l'orientation de la facette est celle de  $\sigma$  et  $\tau$  est perpendiculaire, pointant vers la contrainte de plus grand module !



### Construction

$$\bar{\bar{T}} = \begin{pmatrix} \sigma_x & \tau_{xy} \\ \tau_{xy} & \sigma_y \end{pmatrix} \text{ est connu} \quad (7)$$

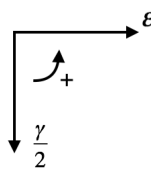
Les composants de la matrice sont les composants du tenseur dans le cercle de Mohr. De cette manière,  $x$  est représentatif de la facette de normale  $x$  et  $y$  pour la facette de normale  $y$ . On a

$$x(\sigma_x, \tau_{xy}) \quad y(\sigma_y, -\tau_{xy}) \quad (8)$$

- Valeurs principales :  $\sigma_1$  et  $\sigma_2$
- Directions principales : angle entre l'horizontale et  $x$
- Valeurs extrémales :  $\tau_{max}$  et  $\tau_{min}$

## TP 3 : Cercle de Mohr (tenseur des déformations)

### Tracé

- 
 Même principe que pour les tenseurs de contraintes. On commence par tracer les axes (où  $\epsilon$  est l'axe des déformations longitudinales et  $\frac{\gamma}{2}$  l'axe des déformations angulaires)
- On connaît cette fois  $a_{ij} = \begin{pmatrix} \epsilon_x & \frac{1}{2}\gamma_{xy} \\ \frac{1}{2}\gamma_{xy} & \epsilon_y \end{pmatrix}$
  - On représente  $x(\epsilon_x, \gamma_{xy})$  et  $y(\epsilon_y, \gamma_{xy})$  dont les composants sont en *microstrenght*

### Tenseurs des déformations évanouissantes

$$a_{ij} = \begin{pmatrix} \epsilon_x & \frac{1}{2}\gamma_{xy} & \frac{1}{2}\gamma_{xz} \\ \frac{1}{2}\gamma_{xy} & \epsilon_y & \frac{1}{2}\gamma_{yz} \\ \frac{1}{2}\gamma_{xz} & \frac{1}{2}\gamma_{yz} & \epsilon_z \end{pmatrix} \quad a_{ij} = \frac{1}{2}(a_{i,j} + a_{j,i}) \quad (9)$$

### Formules utiles

- Tenseur des rotations

$$\mu_{[i,j]} = \frac{1}{2}(\mu_{i,j} - \mu_{j,i}) \quad (10)$$

- Déformation axiale dans la direction  $\vec{\nu}$

$$\vec{\nu} = \nu_i \bar{1}_{x_i} \rightarrow \epsilon_\nu = a_{ij} \nu_j \nu_i \quad (11)$$

- Angle après déformation

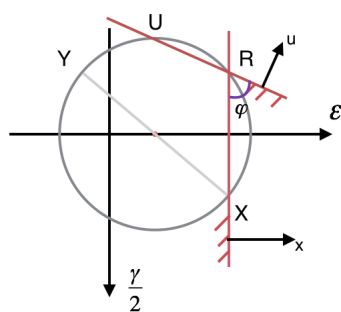
$$\gamma_{\nu\mu} = 2a_{\nu\mu} = 2a_{ij} \nu_j \mu_i \rightarrow angle = \frac{\pi}{2} - \gamma_{\nu\mu} \quad (12)$$

**Remarque :**  $\Delta L = L \cdot \epsilon$

- Loi de Hooke

$$a_{ij} = \frac{1}{E}[(1 + \nu)\tau_{ij} - \nu\delta_{ij}\tau_{kk}] \quad (13)$$

### Remarque



Durant ce tp on utilise le *point de rayonnement* (intersection de la verticale passant par  $x$  avec le cercle). Cela nous permet de mesurer directement l'angle  $\varphi$  et non  $2\varphi$ , mais aussi de représenter directement le plan physique sur le dessin (généralement on représente le vecteur physique du même côté que le point).

## TP 4 - 5 : Hydrostatique

### Principe d'Archimède

- Soit  $\bar{A}$  l'action du fluide sur le corps

$$\bar{A} = \oint_S (-p) \bar{n} dS \quad (14)$$

- Equilibre du corps immergé :  $\bar{A} + \bar{R} = 0$
- $\bar{R}$  : Résultante des forces exercées sur le corps sous l'action du fluide
- $\bar{A}$  : Résultante des forces de pression exercées par le fluide sur le corps
- **Postulat** : *L'équilibre ne change pas si on remplace le corps immergé par du fluide*

$$\int_V -\rho_f g \bar{I}_z dV + \bar{A} = 0 \quad \Rightarrow \quad \bar{A} = \int_V \rho_f g \bar{I}_z dV \quad (15)$$

- **Attention** : il faut que tout le volume soit immergé pour appliquer Archimède

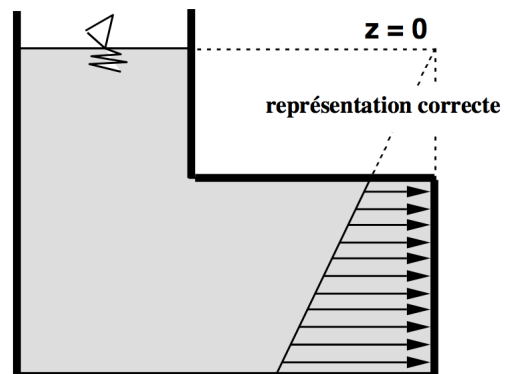
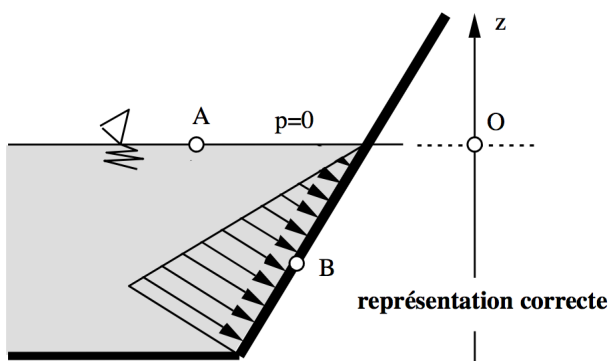
### Principe de Pascal

$$p + \rho g z = cst \quad (16)$$

Si en un point du fluide incompressible en équilibre isotherme, la pression est accrue de  $\Delta p$ , tous les points subissent cet accroissement

### Répartition des pressions sur un obstacle

- La pression est toujours orienté selon la normale à la surface
- On choisit une pression de référence :  $p_{ref} = 0$  ou  $p_{ref} = p_{atm} = 101325 Pa$
- On trouve l'évolution de la pression grâce au principe de Pascal



## TP 6 - 7 : Cinématique des fluides parfaits

### Loi de comportement générale des fluides

$$\tau_{ij} = -p\delta_{ij} + \lambda\delta_{ij}V_{kk} + 2\mu V_{ij} \quad (17)$$

où  $\lambda$  et  $\mu$  sont les coefficients de viscosité.

### Théorème de Bernouilli

- Hypothèses :

- Fluide parfait  $\Rightarrow \tau_{ij} = -p\delta_{ij}$
- Fluide incompressible  $\Rightarrow \rho^\bullet = 0$
- Ecoulement permanent  $\Rightarrow \partial_0 v_i = 0$

- Théorème :

Dans un écoulement permanent d'un fluide parfait soumis à un champ de force massique dérivant d'un potentiel, l'énergie spécifique totale est constante le long d'une ligne de courant.

$$\epsilon = gz + \frac{p}{\rho} + \frac{v^2}{2} = cst \quad (18)$$

le long d'une ligne de courant.

**Attention :**  $\epsilon$  est une énergie par unité de masse  $[J/kg] = [m^2/s^2]$

- Charge :

$$H = \frac{\epsilon}{g} = z + \frac{p}{\rho g} + \frac{v^2}{2g} \quad (19)$$

### Conservation du débit

Permet de calculer la vitesse du fluide si la surface de passage change

$$Q = vS = cst \quad (20)$$

### Cavitation

- Correspond au changement de phase dans un fluide
- Si  $p \searrow \Rightarrow T \nearrow$ , formation de bulles dû à la faible pression et il y a formation de bulles. Il y a donc cavitation lorsque  $p < p_{vap}$  (tension de vapeur)
- Ecoulement impossible

## Remarque

- Si le réservoir est grand on considère que l'écoulement est assez lent que pour faire varier la hauteur
- Le *principe de Pascal* ne s'applique qu'en statique ! En dynamique on utilise *Bernouilli*

## Ligne de charge, piézométrique et de courant

- La première est juste la représentation de  $H$  en fonction de l'endroit (cst)
- La deuxième consiste à reporter  $v^2/(2g)$  selon l'endroit **mais par rapport à la charge !**
- La dernière est la représentation de la hauteur de la ligne d'écoulement en fonction de l'endroit. **La différence avec la courbe piézométrique donne  $p/\rho g$ .**

